

## پاسخ سه بعدی سازه ها تحت شش مؤلفه ای زلزله های نزدیک و دور از گسل

حمزه شکیب<sup>\*</sup>، مهدی علیرضایی<sup>۲</sup>

۱- استاد گروه مهندسی سازه دانشگاه تربیت مدرس

۲- دانشجوی دکترای عمران، گرایش سازه، پژوهشگاه بین المللی زلزله شناسی و مهندسی زلزله

shakib@modares.ac.ir

تاریخ پذیرش: ۱۳۸۹/۰۷/۰۷

تاریخ دریافت: ۱۳۸۸/۰۴/۲۷

**چکیده**- از زمانی که مشخص شد مؤلفه های دورانی جنبش قوی زمین بر پاسخ لرزه ها اثرگذار است، توجه جدی محققین به این مؤلفه ها جلب شد. در این مطالعه یک روش توسعه یافته برای محاسبه تاریخچه زمانی مؤلفه های پیچشی و دورانی حرکت زمین، وابسته به سه مؤلفه انتقالی، ارائه می شود. در این مطالعه سه مؤلفه دورانی از مشتق مؤلفه های انتقالی و میزان سرعت موج برآمده ساختگاه به دست می آید. برای ایجاد مؤلفه های دورانی زمین لرزه هفت رکورد انتقالی دور و هفت رکورد نزدیک گسل انتخاب شده است. طیف پاسخ مؤلفه های دورانی نزدیک و دور از گسل از رکوردهای دورانی ایجاد شده به دست آمده است. سپس طیف های پاسخ دورانی نزدیک و دور از گسل مقایسه و ارزیابی شده است. همچنین آثار رکوردهای دورانی زمین لرزه بر پاسخ سازه تحت هر شش مؤلفه رکورد زلزله های نزدیک و دور از گسل، بر سیستم ایده آل شده اعمال و ارزیابی شد.

**کلیدواژه‌گان:** مؤلفه های دورانی زلزله، نزدیک گسل، دور از گسل

### تحریکات پیچشی شوند [۱].

مؤلفه های دورانی جنبش شدید زمین در مقایسه با مؤلفه های انتقالی برای سالیان متعدد نادیده انگاشته می شد. به دلیل کوچک بودن دامنه این مؤلفه ها، دستگاه های لرزه نگاری استاندارد قادر به ثبت آنها نیست. مؤلفه های دورانی حرکات زمین (پیچشی و گهواره ای) از دو جنبه لرزه شناسی و مهندسی سازه اهمیت دارد. تحقیقاتی که به وسیله ای افرادی چون نیومارک، رزنبلوت، سینگ، غفوری آشتیانی، درکورگیان، برترو، چوپرا، صادق وزیری و برمانی

سیستم ها هنگام وقوع زمین لرزه همواره تحت تأثیر شش مؤلفه زلزله قرار می گیرند. در سازه های خاص لازم است آثار هر شش مؤلفه در طراحی لرزه ای آن ها لحاظ شود. مؤلفه چرخشی حرکت زمین می تواند آثار قابل ملاحظه ای بر پاسخ سازه ها ایجاد کند و پرداختن به این موضوع ویژگی های مؤلفه های چرخشی رکوردهای نزدیک به گسل را نمایان کند. مطالعات نشان می دهند که حین زلزله حتی سازه هایی که هندسه متقاضی دارند نیز ممکن است که دچار

تأثیر می‌پذیرد. پارامترهای مذکور منجر به تأثیراتی می‌شود که به جهت پذیری گسیختگی و گام جهشی مشهور است. چنان‌چه انتشار گسیختگی و همچنین جهت لغزش گسل به سمت ساختگاه باشد، جهت پیشرو گسیختگی اتفاق می‌افتد. این پدیده به دلیل سرعت گسیختگی گسل است که عموماً نزدیک به سرعت موج برشی سنگ بستر نزدیک منبع (حدوداً ۸۰٪ سرعت برشی) است. برای سازوکار راستالغز، اگر گسیختگی از مرکز زلزله و به سمت جلو و عقب ساختگاه پیشروی کند، انرژی در جلو گسیختگی در ناحیه‌ای که لغزش در طول گسل پیشروی می‌کند، تجمع خواهد یافت. اگر ساختگاه نزدیک کانون زلزله باشد، انتشار گسیختگی و ورود امواج لرزه‌ای، به موقع به این سایت خواهد رسید. خصوصیات رکوردهای نزدیک گسل را می‌توان به صورت زیر بیان کرد [۲]:

- ✓ رکوردهای نزدیک گسل دارای مقادیر PGV و PGA بزرگ‌تری نسبت به رکوردهای دور از گسل است.
- ✓ حرکت ضربه گونه با پریود بلند در ابتدای رکورد مشاهده می‌شود که این امر در مؤلفه عمود بر گسل بهتر قابل مشاهده است.

✓ مقدار PGV برای مؤلفه عمود بر گسل بیشتر از این مقدار برای مؤلفه موازی گسل است (تقربیاً دو برابر). مدت زمان (پریود) ضربه اصلی ممکن است حدود ۰/۵ تا ۵ ثانیه یا حتی بیشتر برای زلزله‌های با بزرگی زیاد باشد. که البته به نوع، طول و مشخصات گسل نیز بستگی دارد. طول زیاد پریود ضربه به دو علت رخ می‌دهد؛ اول، تداخل فزاینده سازوکارهای دینامیکی تکان به سبب جهت گسیختگی گسل و دوم، وابستگی حرکت زمین به تغییرشکل‌های ماندگار آن. وابستگی جهتی این دو حالت نتیجه برگشت الاستیک در گسیختگی گسل است. به عبارت دیگر برای توصیف این پدیده می‌توان این‌طور بیان

انجام شده [۳-۵] نشان می‌دهد مؤلفه‌های دیگر زلزله در مقدار پاسخ سازه‌ها تأثیر زیادی دارند. اولین بار در سال ۱۹۶۹ میلادی نیومارک تأثیر مؤلفه دورانی حرکت زمین ۱۹۸۴ حين زلزله را بر پاسخ سازه بررسی کرد. در سال ۱۹۸۶، سینگ و آشتیانی تحقیقاتی انجام دادند. آن‌ها در مطالعات خود از روش نیومارک، روابطی را برای تعیین مؤلفه‌های چرخشی حرکت زمین بر حسب مشتق سوم مؤلفه‌های انتقالی، نسبت به زمان (شتاب آهنگ) و سرعت انتشار امواج به دست آوردند. در سال ۱۹۸۶، عشقی [۶] تحقیقاتی در مورد تحلیل دینامیکی سازه رآکتور هسته‌ای بوشهر تحت اثر زلزله چند مؤلفه‌ای انجام داد. در روش‌های معمول طیفی، فرض می‌شود که سه مؤلفه انتقالی حرکت زمین که در امتداد محورهای سازه اعمال می‌شوند از نظر آماری غیرهمبسته (غیروابسته) است در حالی که سینگ و غفوری آشتیانی ثابت کردند که مؤلفه‌های حرکتی زمین‌لرزه همبستگی آماری دارند. در این مطالعه سعی می‌شود با استفاده از رکوردهای انتقالی زلزله‌های نزدیک و دور از گسل، مؤلفه‌های چرخشی آن‌ها ایجاد شده و ویژگی‌های این دو دسته از رکوردها نسبت به یکدیگر ارزیابی شود.

## ۲- ویژگی‌های زلزله‌های نزدیک گسل

در رکوردهای نزدیک گسل ویژگی‌هایی از قبیل شکل ضربه‌ای رکورد و بالا بودن مقدار بیشینه سرعت قابل مشاهده است [۷]. یکی از ویژگی‌های زلزله‌های نزدیک گسل فاصله از سرچشمه لرزه‌ای است که عموماً ۱۵ کیلومتر در نظر گرفته می‌شود و در مواردی به ۶۰ کیلومتر هم می‌رسد. در ناحیه نزدیک گسل، حرکات زمین به گونه‌ی قابل توجهی از عواملی مانند سازوکار گسیختگی، برای گسترش گسیختگی به سمت ساختگاه و احتمالاً جابه‌جایی دائمی زمین که از لغزش گسل منتج می‌شوند،

### ۳- طیف طرح زلزله‌های نزدیک گسل

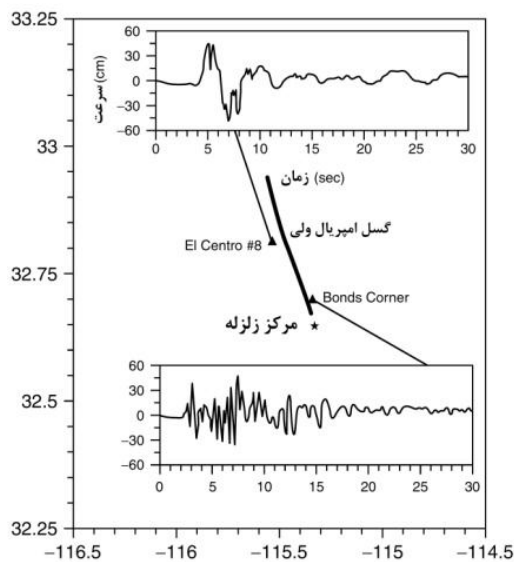
طیف‌های پاسخ برای مؤلفه‌های موازی و عمود بر گسل بسیار متفاوت است. نیازهای تغییرشکل و مقاومت مؤلفه عمود بر گسل بیشتر حرکات نزدیک گسل زمین، خیلی بزرگتر از مقادیر مربوط به مؤلفه موازی گسل می‌باشد [۸] و [۹]؛ زیرا مقادیر PGA، PGV و PGD بزرگ‌تری است، اگرچه ضرایب افزایش تحت این حرکات نسبت به مؤلفه موازی گسل، تفاوت چندانی ندارند. طیف‌های همپایه شده می‌تواند به عنوان ضریب افزایشی پاسخ تفسیر شود. برای مؤلفه عمود بر گسل، حرکات نزدیک گسل نسبت به مؤلفه موازی گسل این حرکات، عموماً کوچک‌ترند، هرچند طیف واقعی بزرگ‌تری دارد. طیف پاسخ در نمودار سه‌جانبه براساس روش نیومارک-ریدل رسم شده و بر این اساس طیف را می‌توان به سه دسته تقسیم کرد. قسمت پریود بلند  $T_d$ ، که در آن  $T_d > T_e > T_a$ ، قسمت پریود کوتاه  $T_d < T_e < T_a$  که به ترتیب معرف قسمت میانی پریودی  $T_e$  که به ترتیب ثابت نواحی جابه‌جایی ثابت، شتاب ثابت و سرعت ثابت است. برای حرکات زمین، پریودهای  $T_f$ ،  $T_b$  و  $T_a$  در طیف نرمال شده، مستقل از میرایی است اما  $T_d$  و  $T_e$  با تغییر میرایی تغییر می‌کند (شکل ۲) و می‌توان نشان داد که:

$$T_e = 2 \times \pi \frac{\alpha_v \times \dot{u}_{g_0}}{\alpha_A \times \ddot{u}_{g_0}} \quad , \quad T_d = 2 \times \pi \frac{\alpha_D \times u_{g_0}}{\alpha_v \times \dot{u}_{g_0}} \quad (1)$$

که  $\alpha_A$ ،  $\alpha_v$  و  $\alpha_D$  به ترتیب ضرایب افزایش نواحی طیفی شتاب، سرعت و جابه‌جایی است. ناحیه سرعت ثابت زلزله نزدیک گسل خیلی باریک‌تر از زلزله دور از گسل و ناحیه شتاب ثابت و جابه‌جایی ثابت در مقایسه با زلزله‌های دور از گسل عریض‌تر است.

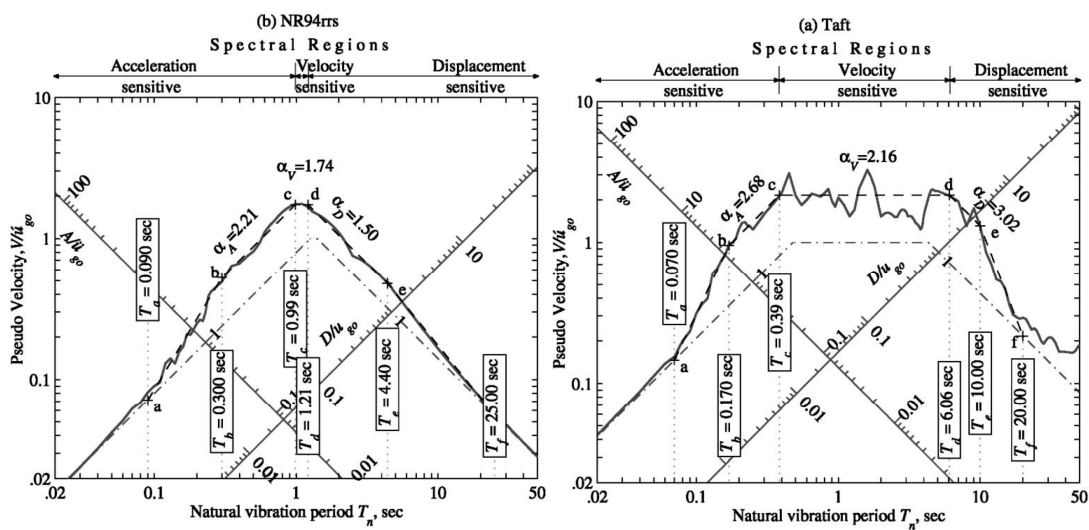
کرد که این عمل به علت حرکت خیلی سریع زمین حین زلزله ایجاد می‌شود [۹].

در حالی که گسیختگی گسل نزدیک محل است، کم و بیش شاهد ثابت ماندن سرعت هستیم (تقریباً به بزرگی موج S)، بیشتر انرژی زلزله از گسیختگی گسل در یک فاصله زمانی کوتاه و در اوایل رکورد آزاد می‌شود. برای محل‌های نزدیک گسل که گسلش نرمال است، طیف شتاب نسبت به گسلش ناشی از یک گسلش موازی بلندتر است. همچنین طیف شتاب ناشی از یک گسلش موازی کوتاه زلزله و دامنه بسامد ثبت شده نیز به هندسه قرارگیری کانون زلزله و زاویه برخورد موج بستگی دارد. یک مثال روش در این مورد رکورد ثبت شده در اکتبر ۱۹۷۹ در زلزله امپریال ولی کالیفرنیا است که در اثر یک منبع لرزه‌ای که گسلش به صورت افقی است، اتفاق افتاده است. در شکل ۱ دو رکورد ثبت شده که در جهات مختلفی نسبت به مسیر گسل قرار دارند همراه سرعت‌های ثبت شده از هر دو رکورد نشان داده شده است. دیده می‌شود که رکوردي که در مسیر گسیختگی گسل بوده، دارای نمودار سرعت با حرکات ضربه‌گونه بیشتری است [۷].



شکل (۱) ارتباط بین هندسه قرارگیری کانون زلزله و زاویه برخورد

موج [۱۷]



شکل (۲) طیف پاسخ برای مؤلفه عمود بر گسل در ایستگاه Taft (سمت راست) و Rinaldi (سمت چپ) برای میرایی ۵٪ [۱۰]

استفاده از داده‌های شبکه‌های ستانگاری متراکم است. در این روش، روش تفاضلی استفاده می‌شود و لازم است شبکه‌گارها در فواصل محدود جای‌گذاری شوند. روش سوم استفاده از حسگرهای خاص و فناوری ابزارهای لیزری است که در چند سال اخیر پیشرفت‌هایی برای اندازه‌گیری مستقیم مؤلفه پیچشی حرکات زمین حاصل شده است. این ابزارها برای ثبت مؤلفه‌های دورانی و پارامترهای مختلف فاصله و بزرگاً محدودیت دارند. نتایج حاصل از مطالعات ستانگاری بیانگر این است که مقادیر مؤلفه‌های دورانی حاصل از روش‌های تحلیلی کمتر از مقادیر اندازه‌گیری شده در شبکه ستانگاری متراکم است. اما براساس مطالعات اخیر مقایسه بین مؤلفه‌های دورانی شبکه ستانگاری از تطابق بسیار خوب این دو حکایت دارد. شبکه ستانگاری متراکم دائم که فواصل بین شبکه‌گارها در محدوده کوچکی متغیر است تا امکان بررسی تغییرات مکانی و محاسبه مؤلفه‌های دورانی از روابط تفاضلی را فراهم کند عمدتاً محدود به دو شبکه SMART در تایوان و Chiba در ژاپن است [۱۱].

دلیل این که پریود  $T_c$  تحت حرکات نزدیک گسل بزرگ‌تر از مقدار متناظر تحت حرکات دور از گسل است، افزایش نسبت  $u_{g0}/\ddot{u}_{g0}$  تحت حرکات نزدیک گسل در قیاس با حرکات دور از گسل است. از طرفی پریود  $T_d$  حرکات نزدیک گسل کوچک‌تر از مقدار یادشده برای حرکات دور از گسل است و این به دلیل نسبت کوچک‌تر  $u_{g0}/\ddot{u}_{g0}$  حرکات نزدیک گسل نسبت به حرکات دور از گسل است [۱۰]. آنچه از مقادیر شتاب، سرعت و جابه‌جایی حرکات نزدیک گسل به دور از گسل مشهود است، این است که برای حرکات نزدیک گسل، مقادیر  $u_{g0}/\ddot{u}_{g0}$  و  $\dot{u}_{g0}/\ddot{u}_{g0}$  بزرگ‌تر از مقادیر مشابه تحت حرکات دور از گسل است.

#### ۴- روش‌های ایجاد مؤلفه‌های چرخشی

در حال حاضر برای برآورد مؤلفه پیچشی جنبش زمین سه روش متفاوت وجود دارد. روش اول فرم تحلیلی است که با مدل‌سازی سیستم گسلش، مؤلفه دورانی در نقاط مختلف محاسبه می‌شود. از معایب این روش می‌توان به کنترل نشدن آن با زمین‌لرزه‌های واقعی اشاره کرد. روش دوم

واقع بر سطح زمین که تحت تأثیر امواج با مؤلفه‌های  $(y - ct)$  و  $u_{gy}$  قرار گرفته است، برابر دانسته و رابطه زیر را استخراج کرده است:

$$u_{g\theta} = 0.5 \left( \frac{\partial u_{gx}}{\partial y} - \frac{\partial u_{gy}}{\partial x} \right) \quad (2)$$

او همچنین برای محاسبه مقادیر بیشینه چرخش  $(u_{g\theta})_0$  سرعت زاویه‌ای بیشینه  $(\dot{u}_{g\theta})_0$  و شتاب زاویه‌ای بیشینه  $(\ddot{u}_{g\theta})_0$  فرمول‌های زیر را به دست آورد:

$$(\dot{u}_{g\theta})_0 = \frac{\ddot{u}_{gy}}{c} \quad (\ddot{u}_{g\theta})_0 = \frac{\ddot{u}_{gx}}{c} \quad (3)$$

در روابط بالا سرعت امواج در طول فنداسیون ساختمان است. در روشنی که سینگ و آشتیانی برای تولید مؤلفه‌های دورانی استفاده کردند، فرض شد که سه مؤلفه حرکت در یک ساختگاه، ترکیبی از انواع امواج زلزله یعنی P و امواج برشی، امواج سطحی و مؤلفه‌های منعکس و شکسته آنها است. امواج P غیر دورانی بوده ولی امواج دیگر می‌توانند باعث آثار دورانی شوند. آثار دورانی بستگی به جهت انتشار هم دارند. مثلاً اگر یک موج به طور قائم انتشار یابد حول محور قائم دورانی ایجاد نکرده ولی حول یک محور افقی دوران ایجاد می‌کند [۱۲]، [۱۳] و [۱۴].

$$\psi_k(t) = 0.5 \left( \frac{\partial X_j}{\partial x_i} - \frac{\partial X_i}{\partial x_j} \right) \quad (4)$$

که  $(\psi_k)_j$  چرخش حول محور k،  $X_i$  و  $x_j$  جایه‌جایی در جهات i و j است.  $x_i$  و  $x_k$  سه محور اصلی سیستم است. فرض می‌شود معادله زیر بیان ریاضی مناسبی برای حرکت زمین باشد.

$$X_i = A f \left( \sum_{j=1}^3 k_j X_j - \omega t \right) \quad (5)$$

در این رابطه  $k_j$  عدد موجی و  $\omega$  فرکانس موج است. با

درصورتی که سازه نامتقارن باشد در این حالت مدهای پیچشی و جانبی به هم وابسته است که این حالت به خاطر فاصله بین مرکز جرم طبقات و مرکز سختی است. Matosaka و Ghayamghamian در سال ۲۰۰۳ آثار حرکات چرخشی را بر پاسخ سایت بررسی کردند. حرکات انتقالی ثبت شده به وسیله‌ی شتاب‌نگاشت‌ها در تراز فنداسیون ساختمان متناظر با متوسط حرکات زمین در تراز زیر فنداسیون است. چون در بسیاری از ساختمان‌ها سیستم فنداسیون سخت فرض می‌شود در نتیجه امکان ایجاد حرکات دلخواه در نقاط مختلف آن فراهم نیست. چوپرا یک روش ساده برای تعیین مؤلفه دورانی زلزله از مؤلفه‌های انتقالی زلزله پیشنهاد داد. در این روش اگر دو شتاب سنج به صورت موازی در اساس یک ساختمان با فنداسیون سخت قرار گیرد و شتاب‌های انتقالی  $a_{g1}$  و  $a_{g2}$  را ثبت کند، شتاب پیچشی ایجادشده در اساس به صورت  $a_{g\theta}(t) = (a_{g1}(t) - a_{g2}(t))/d$  قابل محاسبه است. در رابطه اخیر فاصله بین دو شتاب‌نگاشت مذکور است. اگر شتاب‌های افقی بر حسب  $m/\text{sec}^2$  و d بر حسب متر باشد، شتاب پیچشی بر حسب  $a_{g1}(t)$  به دست می‌آید. Chopra، Lallera، Chopra، مقادیر شتاب پیچشی زمین را بر حسب شعاع ژیراسیون پلان مربعی به ابعاد  $50 \times 50$  متر به صورت  $r\ddot{u}_{g\theta}$  در نظر گرفتند. مشاهده می‌شود که بیشینه‌ی شتاب پیچشی بیشتر در محدوده ۰.۰۱g تا ۰.۰۵g متغیر است. در حالی که دامنه تغییرات شتاب جانبی حدوداً ۰.۰۵g تا ۰.۳۵g است. شتاب پیچشی در مقایسه با شتاب انتقالی فرکانس بالاتری دارد. علاوه بر این، نسبت بین مقادیر بیشینه‌ی شتاب انتقالی و پیچشی برای دو رکورد مختلف، متفاوت خواهد بود. مقدار متوسط این نسبت برای ۳۰ رکورد مورد بررسی حدوداً ۲۰ درصد است. Newmark در مطالعه خود چرخش فنداسیون ساختمان را با چرخش به وجود آمده در یک المان کوچک

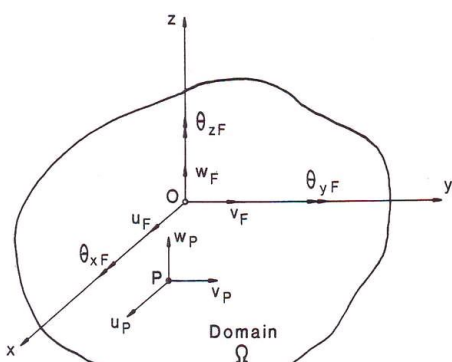
[۱۵] نیز روشی ارائه کرد که برای به دست آوردن شتاب دورانی زمین‌لرزه روی شالوده با توجه به ابعاد شالوده، سرعت انتشار امواج و سه مؤلفه انتقالی شتاب زمین‌لرزه استفاده می‌شود. شکل ۳ طرح یک انتشار موج زمین‌لرزه با زاویه  $\phi$  و یک جبهه موج به فاصله  $\rho$  از مبدأ مختصات ۰ را نشان می‌دهد. همبستگی بین میدان آزاد حرکت زمین  $U_f(x, y, t)$  با داده‌های حرکت زمین در مبدأ مختصات  $U_0(t)$  به  $\rho$  بستگی دارد.

$$\rho = Y \sin \phi + X \cos \phi \quad (12)$$

همچنین سه مؤلفه  $U_f$  بر حسب اختلاف فاز به صورت زیر بیان می‌شوند:

$$\begin{aligned} u_f &= (x, y, t) = \tilde{u}_0 \left( t - \frac{\rho}{C_b} \right) \\ v_f &= (x, y, t) = \tilde{v}_0 \left( t - \frac{\rho}{C_h} \right) \\ w_f &= (x, y, t) = \tilde{w}_0 \left( t - \frac{\rho}{C_v} \right) \end{aligned} \quad (13)$$

که  $C_b$  و  $C_v$  سرعت‌های مؤلفه‌های افقی حرکت قائم است. سرعت و شتاب میدان آزاد  $U_f$  و  $\ddot{U}_f$  بر حسب  $U_0$  و  $\ddot{U}_0$  از رابطه ۱۳ حرکت زمین در مبدأ مختصات می‌تواند از رکورد زلزله تعیین شود.



شکل (۳) نمایش میدان آزاد حرکت زمین [۳]

مشتق‌گیری از طرفین رابطه اخیر، معادلات زیر حاصل می‌شود:

$$\frac{\partial X_i}{\partial x_j} = A_i k_j f' \quad (6)$$

$$\frac{dX_i}{dt} = -A_i \omega f' \quad (7)$$

با حذف  $f'$  از دو رابطه بالا معادله زیر به دست می‌آید:

$$\frac{\partial X_i}{\partial x_j} = -\frac{1}{c_j} \frac{dX_i}{dt} \quad (8)$$

$c_j$  سرعت امواج برشی منتشرشده در راستای  $x_j$  است که در حالت کلی ممکن است با سرعت امواج برشی در دیگر راستاهای برابر نباشد. اگر سرعت موج برشی برای تمام راستاهای یکسان فرض گردد رابطه زیر نتیجه می‌شود:

$$\ddot{\psi}_k(t) = -\frac{1}{2c_j} \frac{d}{dt} [\ddot{X}_j(t) - \ddot{X}_i(t)] \quad (9)$$

این رابطه تغییرات مؤلفه پیچشی را بر حسب مؤلفه‌های انتقالی زمین بدست می‌دهد.

$$\begin{aligned} \ddot{\psi}_1(t) &= -\frac{1}{2c} \frac{d}{dt} [\ddot{X}_3(t) - \ddot{X}_2(t)] \\ \ddot{\psi}_2(t) &= -\frac{1}{2c} \frac{d}{dt} [\ddot{X}_1(t) - \ddot{X}_3(t)] \\ \ddot{\psi}_3(t) &= -\frac{1}{2c} \frac{d}{dt} [\ddot{X}_2(t) - \ddot{X}_1(t)] \end{aligned} \quad (10)$$

روابط اخیر را به شکل ماتریس می‌توان نوشت [۱۲]:

$$\begin{Bmatrix} \ddot{\psi}_1 \\ \ddot{\psi}_2 \\ \ddot{\psi}_3 \end{Bmatrix} = -\frac{1}{2c} \frac{d}{dt} \begin{bmatrix} 0 & -1 & 1 \\ 1 & 0 & 1 \\ -1 & 1 & 0 \end{bmatrix} \begin{Bmatrix} \ddot{X}_1 \\ \ddot{X}_2 \\ \ddot{X}_3 \end{Bmatrix} \quad (11)$$

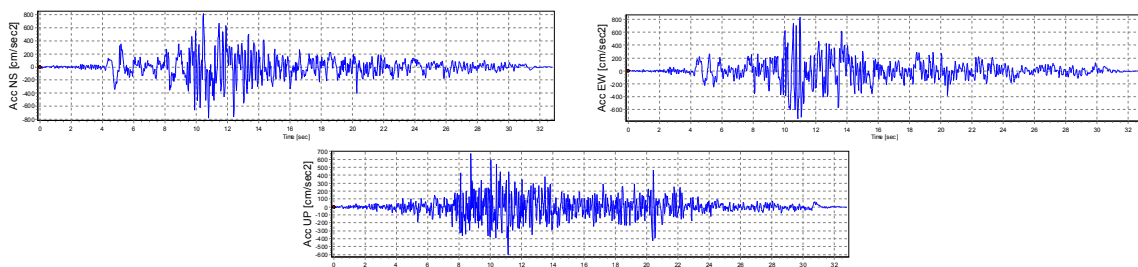
در سال ۱۳۷۶، ضیاتوحیدی با استفاده از رابطه ۹ به بررسی مؤلفه پیچشی زلزله در پاسخ ساختمان‌های نامتفاوت پرداختند [۱]. ایشان نتیجه گرفت که مؤلفه پیچشی می‌تواند تأثیر کاهنده و یا افزاینده بر پاسخ سازه داشته باشد. برمانی

جدول (۱) خصوصیات و مشخصات رکوردهای نزدیک گسل منظور شده

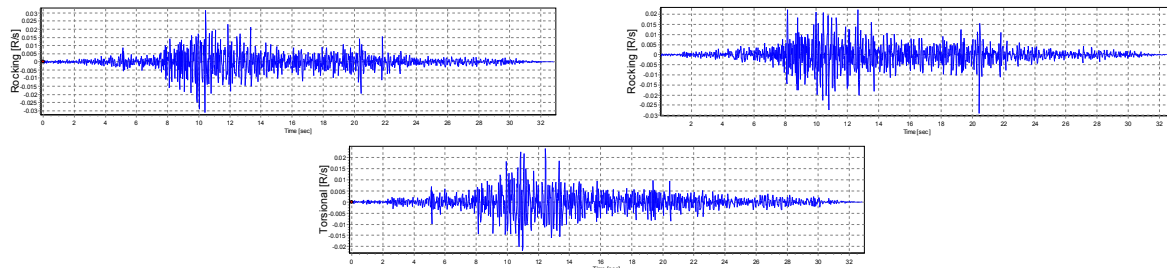
نوع خاک	$\frac{u_g}{\dot{u}_g}$	$\frac{\dot{u}_g}{\ddot{u}_g}$	PGD (cm)	PGV (cm/s)	PGA (g)	مؤلفه	فاصله بر حسب کیلومتر	سال	زلزله
USGS (B)	•/۳۹۵	•/۱۱۹	۳۸/۶۶	۹۷/۷۵	•/۸۳۵	TAB-LN	۳/۰	۱۹۷۸	TABAS
	•/۷۹۲	•/۱۴۵	۹۶/۰۶	۱۲۱/۲۲	•/۸۵۱	TAB-TR	۳/۰	۱۹۷۸	TABAS
	•/۳۹	•/۰۷۵	۱۷/۴۰	۲۴/۴	•/۷۸۸	TAB-UP	۳/۰	۱۹۷۸	TABAS
USGS (B)	•/۳۷۲	•/۱۱۹	۱۵/۰۸	۴۰/۴۳	•/۳۴۴	ARL090	۹/۲	۱۹۹۴	Northridge
	•/۴۶۰	•/۰۷۶	۱۰/۶۵	۲۳/۱۳	•/۳۰۸	ARL360	۹/۲	۱۹۹۴	Northridge
	•/۴۸۶	•/۰۳۲	۸/۶۲	۱۷/۷۱	•/۵۵۲	ARL-UP	۹/۲	۱۹۹۴	Northridge
USGS(B)	•/۱۷۷	•/۰۶۱	۳/۸۱	۲۱/۴۷	•/۳۵۷	TMB205	۹/۴	۱۹۷۶	Parkfield
	•/۲۲۵	•/۰۵۶	۳/۳۸	۱۵/۰۰	•/۲۷۱	TMB295	۹/۴	۱۹۷۶	Parkfield
	•/۲۵۴	•/۰۳۲	۱/۱۱	۴/۳۷	•/۱۳۶	TMBDWN	۹/۴	۱۹۷۶	Parkfield
USGS (B)	•/۱۳۱	•/۰۶۱	۰/۶۱	۱۴/۲۰	•/۱۱۰	1058-E	۱	۱۹۹۹	Duzce
	•/۱۹۰	•/۹۴۲	۱۲/۶۳	۱۳/۴۶	•/۰۷۲	1058-N	۱	۱۹۹۹	Duzce
	•/۲۴۴	•/۶۹۳	۱/۱۱	۱۷/۸۲	•/۰۷۰	1058-V	۱	۱۹۹۹	Duzce
USGS (B)	•/۱۰۱	•/۲۱۸	۰/۲۶۹	۱۷/۶۹	•/۸۲۱	KJM000	۰/۶	۱۹۹۰	Kobe
	•/۱۲۷	•/۲۶۹	۰/۲۶۹	۷۴/۳۵	•/۰۵۸	KJM090	۰/۶	۱۹۹۰	Kobe
	•/۱۱۴	•/۲۱۹	۰/۲۱۹	۳۸/۳۱	•/۳۴۲	KJM-UP	۰/۶	۱۹۹۰	Kobe
USGS (B)	•/۰۵۲	•/۲۱۵	۰/۲۴۵	۱۱/۴	•/۲۲۲	G06000	۱۱/۸	۱۹۸۴	Morgan Hill
	•/۱۲۸	•/۱۷۷	۰/۱۷۷	۳۷/۶۸	•/۲۹۲	G06090	۱۱/۸	۱۹۸۴	Morgan Hill
	•/۰۳۵	•/۱۳۳	۰/۱۳۳	۱۴/۰۳	•/۴۰۰	G06-UP	۱۱/۸	۱۹۸۴	Morgan Hill
USGS (B)	•/۱۰۲	•/۳۴۷	۰/۳۴۷	۹/۵۳۸	•/۲۷۳	JOS000	۱۱/۶	۱۹۹۲	Landers
	•/۱۰۵	•/۳۳۳	۰/۳۳۳	۱۴/۳۲	•/۲۸۴	JOS090	۱۱/۶	۱۹۹۲	Landers
	•/۰۸۴	•/۵۹۴	۰/۵۹۴	۸/۸۸	•/۱۸۱	JOS-UP	۱۱/۶	۱۹۹۲	Landers

جدول (۲) خصوصیات و مشخصات رکوردهای دور از گسل منظور شده

نوع خاک	$\frac{u_g}{\dot{u}_g}$	$\frac{\dot{u}_g}{\ddot{u}_g}$	PGD (cm)	PGV (cm/s)	PGA (g)	مؤلفه	فاصله بر حسب کیلومتر	سال	زلزله
USGS (B)	۱/۴۱۱	•/۰۸۱	۱۰/۴۷	۷/۵۶۱	•/۰۹۴	BAJ-L1	۱۲/۱/۲	۱۹۷۸	TABAS
	۱/۸۱۲	•/۰۸۷	۱۰/۳۴	۵/۴۰۵	•/۰۷۷	BAJ-T1	۱۲/۱/۲	۱۹۷۸	TABAS
	۱/۰۹۱	•/۲۰۰	۷/۲۱۰	۵/۷۹۰	•/۰۲۹	BAJ-V1	۱۲/۱/۲	۱۹۷۸	TABAS
USGS (B)	۰/۳۲۵	•/۱۰۱	۱/۳۲۲	۴/۰۷۳	•/۰۴۱	NBI000	۸/۷/۶	۱۹۹۴	Northridge
	۰/۲۵۷	•/۰۸۸	۰/۱۳۳	۱/۳۲۳	•/۰۷۶	NBI090	۸/۷/۶	۱۹۹۴	Northridge
	۰/۳۲۵	•/۱۳۷	۰/۱۳۷	۱/۸۷	•/۰۴۰	NBI-UP	۸/۷/۶	۱۹۹۴	Northridge
USGS(B)	۱/۱۴۳	۰/۱۳۳	۰/۱۳۷	۴/۷۵۵	•/۰۵۳	MCD000	۶/۲/۳	۱۹۷۶	Kocaeli
	۰/۷۷۱	•/۱۱۹	۰/۱۱۹	۴/۷۰۵	•/۰۷۸	MCD090	۶/۲/۳	۱۹۷۶	Kocaeli
	۰/۷۴۸	•/۲۲۸	۰/۲۲۸	۴/۷۷۷	•/۰۲۸	MCD-V	۶/۲/۳	۱۹۷۶	Kocaeli
USGS (B)	۱/۲۰۰	•/۳۴۵	۳/۲۵۰	۲/۷۰۸	•/۰۰۸	ARC000	۱۳۵/۷	۱۹۹۹	Duzce
	۱/۲۵۹	•/۳۱۴	۳/۱۰۵	۲/۲۶۶	•/۰۰۸	ARC270	۱۳۵/۷	۱۹۹۹	Duzce
	۰/۹۰۲	•/۴۰۸	۰/۴۰۸	۲/۲۸۳	•/۰۰۷	ARC-V	۱۳۵/۷	۱۹۹۹	Duzce
USGS (B)	۰/۴۹۹	•/۱۰۲	۰/۱۰۲	۱۱/۷۵	•/۱۵۸	CHY074-N	۸/۲/۴۹	۱۹۹۰	Chi-Chi
	۰/۶۷۷	•/۱۲۳	۰/۱۲۳	۲/۸/۱۴	•/۲۳۴	CHY074-W	۸/۲/۴۹	۱۹۹۰	Chi-Chi
	۰/۶۰۴	•/۱۶۹	۰/۱۶۹	۹/۴۰۴	•/۰۹۴	CHY074-V	۸/۲/۴۹	۱۹۹۰	Chi-Chi
USGS (B)	۰/۳۰۰	•/۱۶۶	۰/۱۶۶	۱۱/۴۲	•/۲۳۳	GGB270	۸/۰/۱	۱۹۸۴	Loma Prieta
	۰/۱۶۳	•/۱۴۸	۰/۱۴۸	۲/۹/۸۳	•/۱۲۳	GGB360	۸/۰/۱	۱۹۸۴	Loma Prieta
	۰/۳۳۶	•/۲۱۰	۰/۲۱۰	۳/۸۰۷	•/۰۵۵	GGB-UP	۸/۰/۱	۱۹۸۴	Loma Prieta
USGS (B)	۰/۱۳۸	•/۲۲۲	۰/۲۲۲	۲/۷۳۲	•/۱۰۷	BAK050	۸/۸/۰	۱۹۹۲	Landers
	۰/۱۸۰	•/۰۷۷	۰/۰۷۷	۲/۷۵۱	•/۱۰۵	BAK140	۸/۸/۰	۱۹۹۲	Landers
	۰/۱۸۴	•/۰۷۳	۰/۰۷۳	۰/۲۲۴	•/۰۵۵	BAK-UP	۸/۸/۰	۱۹۹۲	Landers



شکل (۴)-الف- تاریخچه زمانی مؤلفه‌های انتقالی رکورد طبس



شکل (۴)-ب- تاریخچه زمانی مؤلفه‌های دورانی رکورد طبس

ادامه بررسی می‌شود. برای ایجاد متغیرهای مورد نیاز لازم است در مشخصات سیستم تغییراتی داده شود. پارامترهای متغیر در این تحقیق، پریود طبیعی سیستم ( $T$ ) و نسبت خروج از مرکزیت به بعد ساختمان ( $e/\beta$ ) است که اثر هر یک از این پارامترها به طور جداگانه بررسی می‌شود.

رکوردهای انتخاب شده به وسیله‌ی روش ارائه شده در آینه نامه ۲۸۰۰ مقیاس شده‌اند و برای مقیاس کردن مؤلفه قائم از طیف هدف ارائه شده در مرجع [۱۶] استفاده شده است.

تمام رکوردهای انتخاب شده روی خاک نوع II برداشت شده‌اند. هشت مدل ایده‌آل متقارن با دوره تناوب‌های ۰/۲۵، ۰/۵، ۰/۷۵، ۱، ۱/۵، ۲، ۳ و ۴ ثانیه ایجاد شده است و با تولید مؤلفه‌های دورانی، به هر یک از مدل‌ها اعمال شده است. برای بررسی مدل‌های نامتقارن نیز دو مدل با نسبت خروج از مرکزیت به بعد ساختمان  $e/\beta = 20\%$  و  $e/\beta = 40\%$  ایجاد شده و رفتار سازه‌های نامتقارن نیز بررسی شده است.

تغییرات نیروی محوری در یکی از ستون‌های سازه متقارن در مقابل پریود طبیعی سازه از محدوده ۰/۲۵ تا ۴

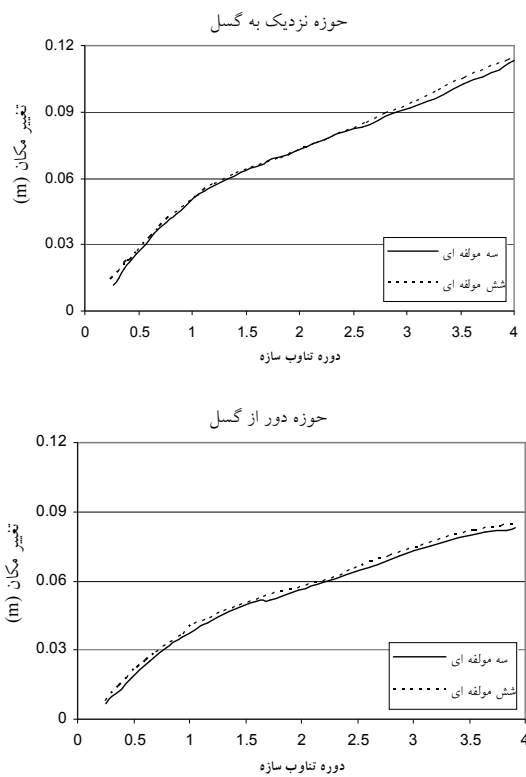
## ۵- ایجاد شش مؤلفه‌ای رکوردهای نزدیک گسل

برای بدست آوردن مؤلفه‌های چرخشی از رکوردهای واقعی موجود، مطابق جدول زیر رکوردهای نزدیک و دور از گسل انتخاب شده‌اند.

با استفاده از رابطه ۱۱ برای هر یک از رکوردهای انتقالی موجود، مؤلفه‌های دورانی آن‌ها تولید شده‌اند. به عنوان مثال برای رکورد طبس، در شکل ۴ب مؤلفه‌های دورانی آن نشان داده شده است. در این شکل مؤلفه‌های دورانی رکورد طبس به عنوان نمونه ارائه شده است.

## ۶- پاسخ سازه‌های ایده‌آل شده به تحریک شش مؤلفه‌ای

برای بررسی اثر مؤلفه‌های زلزله بر پاسخ لرزه‌ای ساختمان‌ها، سازه‌هایی به صورت یک طبقه ایده‌آل شده به وسیله‌ی نرم‌افزار ANSYS مدل‌سازی شده‌اند. مدل حاضر تحت هفت شتاب‌نگاشت نزدیک و هفت شتاب‌نگاشت دور از گسل قرار داده شده است. پاسخ‌های بدست آمده در

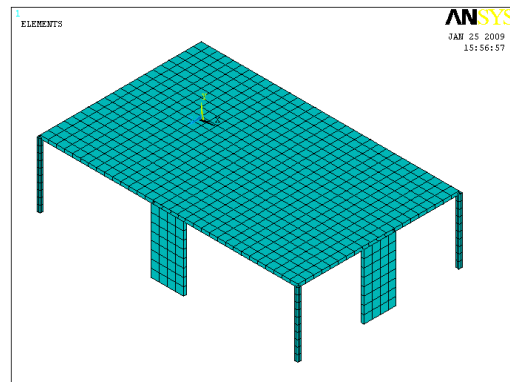


شکل (۷) تغییرات جابه‌جایی نسبت به تناوب سازه متقارن برای زلزله‌های حوزه نزدیک و دور

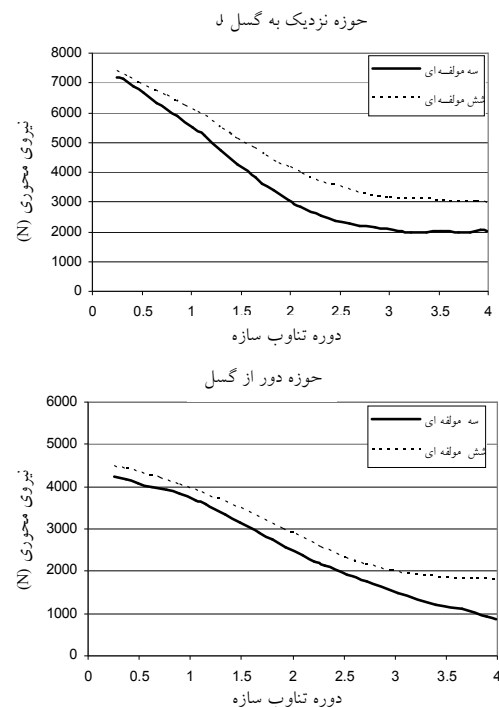
مشاهده می‌شود نیروی محوری ستون مورد بررسی شده در ساختمان متقارن در حالتی که رکورد نزدیک گسل اعمال شده است، در دو حالت شش مؤلفه‌ای و سه مؤلفه‌ای با افزایش، پریود کاهش می‌یابد و این شیوه تغییرات، منطقی به نظر می‌رسد. پاسخ شش مؤلفه‌ای کلیه پریودها نسبت به حالت سه مؤلفه‌ای افزایش نشان می‌دهد.

در شکل ۷ تغییرات جابه‌جایی سیستم در مقابل پریود طبیعی سازه از محدوده  $0/25$  تا  $4$  ثانیه تحت گروهی از زلزله‌های نزدیک و دور از گسل ترسیم شده است. جابه‌جایی ارائه شده میانگین بیشینه‌ی گروه زلزله‌های انتخابی و بر حسب متر است. همان‌گونه که مشاهده می‌شود جابه‌جایی بررسی شده در ساختمان متقارن در حالتی که رکورد نزدیک به گسل اعمال شده است، در دو

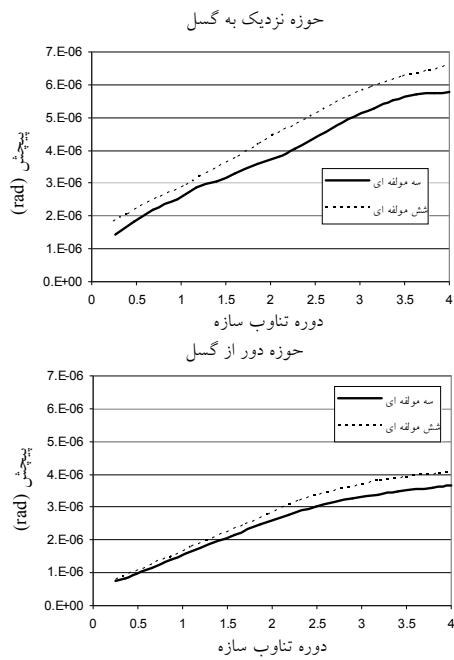
ثانیه تحت گروهی از زلزله‌های نزدیک و دور از گسل ترسیم شده است. نیروی محوری ارائه شده میانگین بیشینه‌ی گروه زلزله‌های انتخابی است. همان‌گونه که در شکل ۶ نشان داده شده است.



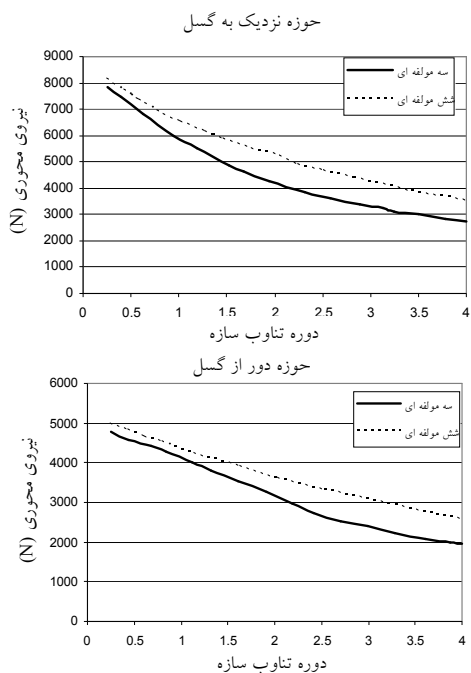
شکل (۵) مدل ایده‌آل ساخته شده



شکل (۶) تغییرات نیروی محوری نسبت به تناوب سازه متقارن برای زلزله‌های حوزه نزدیک و دور

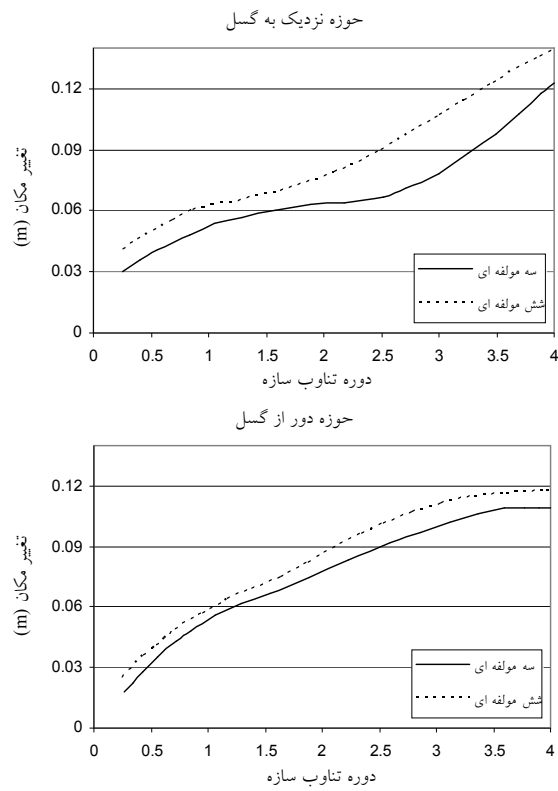


شکل (۹) تغییرات پیچش نسبت به تناوب سازه نامتقارن برای زلزله‌های حوزه نزدیک و دور  $e_s / \beta = 20\%$



شکل (۱۰) تغییرات نیروی محوری نسبت به تناوب سازه نامتقارن برای زلزله‌های حوزه نزدیک و دور  $e_s / \beta = 20\%$

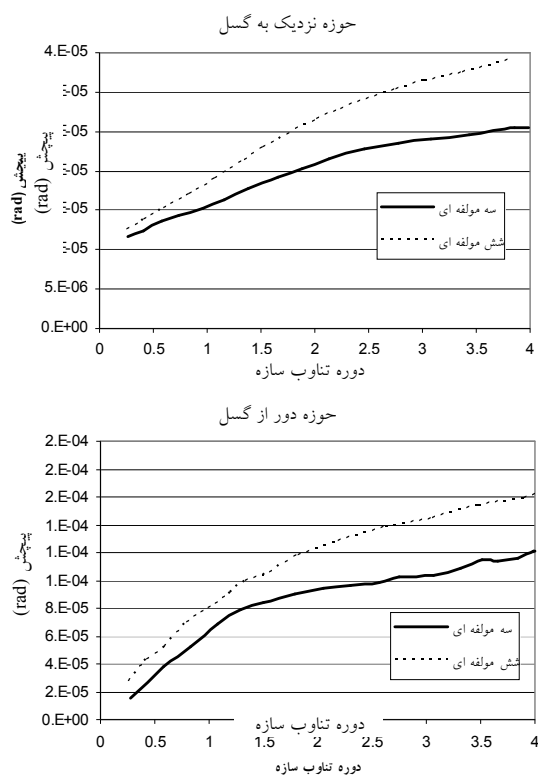
حالت شش مؤلفه‌ای و سه مؤلفه‌ای تقریباً یکسان است. پاسخ شش مؤلفه‌ای کلیه پریودها نسبت به حالت سه مؤلفه‌ای افزایش اندکی را نشان می‌دهد. این افزایش در پاسخ‌های سیستم تحت رکوردهای نزدیک از تناوب  $2/5$  ثانیه تقریباً ثابت می‌ماند.



شکل (۸) تغییرات جابه‌جایی نسبت به تناوب سازه نامتقارن برای زلزله‌های حوزه نزدیک و دور  $e_s / \beta = 20\%$

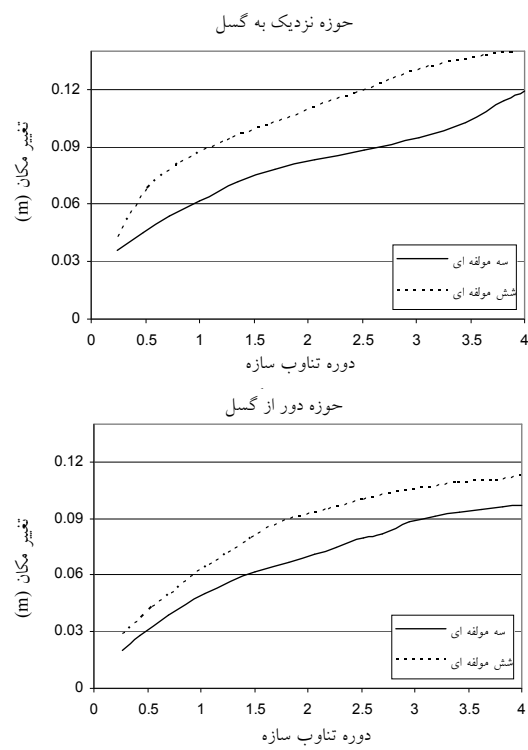
با مقایسه شکل ۸ مشاهده می‌شود که پاسخ اثر شش مؤلفه‌ای نسبت به حالت سه مؤلفه‌ای در حالت اعمال رکوردهای نزدیک گسل بیشتر از حالت دور از گسل است. همچنین در حالت نزدیک گسل تفاوت در پاسخ سه و شش مؤلفه‌ای در محدوده  $2$  تا  $3/5$  ثانیه، بیشتر است.

افزایش بیشتری دارد. تغییر مکان نزدیک گسل برای سازه نامتقارن بالا برای تحریک سه و شش مؤلفه‌ای به صورت نامنظم است و از نظم خاصی تعیت نمی‌کند. میزان بیشترین اختلاف در محدوده ۲ تا  $\frac{3}{5}$  ثانیه برای زلزله نزدیک گسل و برای زلزله دور از گسل در محدوده ۱ تا ۲/۵ ثانیه دیده می‌شود.



شکل (۱۲) تغییرات پیچش نسبت به تناوب سازه نامتقارن برای زلزله‌های حوزه نزدیک و دور  $e_s / \beta = 40\%$

مطابق شکل ۱۲ پاسخ پیچشی زلزله‌های نزدیک گسل در پریودهای بالا اختلاف بین پاسخ سه‌مؤلفه‌ای و شش‌مؤلفه‌ای وجود دارد. این اختلاف برای دور از گسل نیز قابل مشاهده است ولی برای نزدیک گسل محسوس‌تر است. در سازه بحث شده میزان نیروی محوری مطابق شکل ۱۳ در حالت نزدیک گسل با زیاد شدن پریود سازه کاهش می‌یابد.

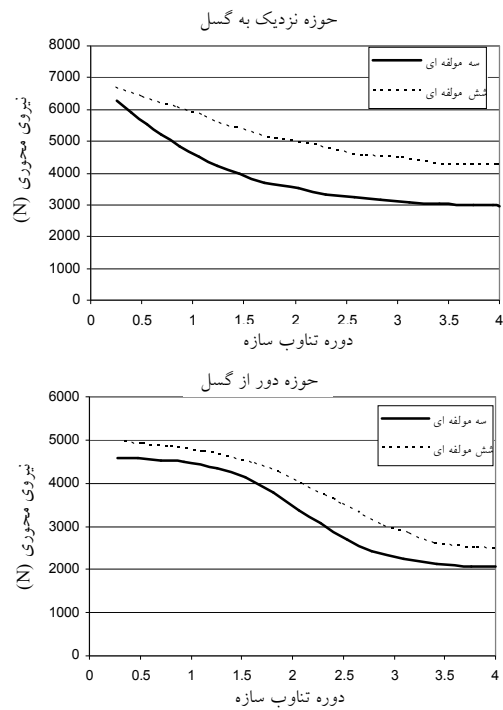


شکل (۱۱) تغییرات جابه‌جایی نسبت به تناوب سازه نامتقارن برای زلزله‌های حوزه نزدیک و دور  $e_s / \beta = 40\%$

مطابق شکل ۸ مقدار افزایش پاسخ‌ها در دو حالت سه‌مؤلفه‌ای و شش‌مؤلفه‌ای رکوردهای دور از گسل کمتر از رکوردهای نزدیک گسل است. اختلاف بین پاسخ‌ها در پریودهای بیش از  $1/5$  ثانیه بیشتر است. همچنین با توجه به شکل ۹ تغییرات پیچش برای سازه‌های نامتقارن در دوره تناوب‌های بیش از  $2/5$  ثانیه قابل توجه است.

با توجه به شکل ۱۰ نیروی محوری ایجادشده در حالت نامتقارن تحت زلزله شش‌مؤلفه‌ای به مراتب بیشتر از حالت متقاضی است و عکس حالت متقاضی، پاسخ سه‌مؤلفه‌ای و شش‌مؤلفه‌ای اختلاف قابل توجهی در پریودهای مختلف به خصوص در پریودهای بلند دارد. در شکل ۱۱ با افزایش مقدار تناوب سازه، جابه‌جایی‌ها نیز افزایش یافته و برای رکوردهای دور از گسل مقدار اختلاف بین پاسخ سه‌مؤلفه‌ای و شش‌مؤلفه‌ای از تناوب ۱ ثانیه

استفاده می‌شود. محتوای فرکانسی مؤلفه‌های L و T مشابه ولی با محتوای فرکانسی مؤلفه عمودی متفاوت است. با توجه به محتوای فرکانسی مؤلفه‌های دورانی می‌توان دریافت مودهای بالاتر نیز می‌توانند در مقدار پاسخ لرزه‌ای مؤثر باشند. برخلاف این‌که از تأثیر مودهای بالاتر در پاسخ لرزه‌ای چشم‌پوشی می‌شود. با توجه به این‌که ۵ سرعت موج برشی در رابطه پیشنهادی سینگ، غفوری آشتیانی برای به دست آوردن شتاب دورانی زمین‌لرزه در مخرج رابطه قرار دارد، مقدار شتاب دورانی زمین‌لرزه با سرعت موج برشی نسبت عکس دارد و برای مثال با تغییر سرعت موج برشی از ۵۰۰ متر بر ثانیه (حاک سخت) تا ۱۸۰ متر بر ثانیه (حاک نرم) مقادیر شتاب دورانی زمین‌لرزه و دامنه تبدیل فوریه شتاب دورانی زمین‌لرزه ۲/۷۷ برابر می‌شود. مقایسه نمودارهای طیف توان برای مؤلفه‌های نزدیک و دور از گسل نشان می‌دهد که بیشترین انرژی مؤلفه‌های دور از گسل نشان می‌دهد که بیشترین انرژی مؤلفه‌های فرکانس‌های بین ۷ تا ۲۰cps دارای بیشترین انرژی را دارند. نتایج حاصل از پاسخ سازه ایده‌آل نشان می‌دهد چشم‌پوشی از مؤلفه دورانی در بعضی از موارد صحیح نیست. مؤلفه چرخشی زلزله در بیشتر موارد اثر افزاینده بر پاسخ سازه داشته است. این افزایش برای حالت سازه نامتقارن و برای نیروی محوری و پیچش بیشتر است. میزان این تأثیرات به عواملی مانند تناوب سازه و خروج از مرکزیت ساخته بستگی دارد. با توجه به نمودارهای ارائه شده دیده می‌شود که تأثیر مؤلفه‌های چرخشی در سازه‌های نامتقارن به مراتب بیشتر است. در نواحی دور و نزدیک گسل برای سازه‌های متقاضی با دوره تناوب  $T < 1.5\text{ sec}$  میزان تغییرات در پاسخ پیچشی چندان محسوس نیست و با افزایش نرمی سازه



شکل (۱۳) تغییرات نیروی محوری نسبت به تناوب سازه نامتقارن برای زلزله‌های حوزه نزدیک و دور

## ۷- نتیجه‌گیری

نتایج به دست آمده از این مطالعه را می‌توان در دو بخش خلاصه کرد. قسمت اول مربوط به نتایج به دست آمده از رکوردهای دورانی است و قسمت بعدی به نتایج به دست آمده از پاسخ سازه مربوط می‌شود. روش‌های استفاده شده به وسیله‌ی چوپرا براساس حرکت شالوده است. [۱۴] روش ارائه شده در مرجع [۱۴] با توجه به موجود بودن ابعاد شالوده و روش به کار گرفته شده به وسیله‌ی چوپرا با توجه به موجود بودن مؤلفه انتقالی شتاب زمین‌لرزه در یک امتداد روی شالوده انجام می‌شود در حالی که روش ارائه شده در مرجع [۳] براساس حرکت محل است و نیازی به داشتن ابعاد شالوده و مؤلفه‌های انتقالی شتاب زمین‌لرزه در یک امتداد روی شالوده ندارد. روش‌های ارائه شده به وسیله‌ی مراجع [۳، ۱۵] برای شتاب‌نگاشت‌های ثبت شده در محل

کارشناسی ارشد، پژوهشگاه بین‌المللی زلزله‌شناسی و  
مهندسی زلزله.

[7] Farzad Naeim (ed). "The Seismic Design Handbook, 2nd Edition".

[۸] لطف الهی، ارسسطو، «بررسی غیرارتجاعی سازه‌ها در  
برابر زلزله‌های نزدیک گسل»، پایان‌نامه کارشناسی  
ارشد، دانشگاه تربیت مدرس، دانشکده فنی و  
مهندسی، ۱۳۸۱.

[۹] هاشمی، شاکر، «اثر رکوردهای واقعی و مصنوعی  
نزدیک گسل بر ساختمان‌های فولادی با سیستم  
ترکیبی قاب خمشی و مهاربندی هم محور»، به  
راهنمایی دکتر حمزه شکیب؛ پایان‌نامه کارشناسی  
ارشد، دانشگاه تربیت مدرس، دانشکده فنی و  
مهندسی، ۱۳۸۴.

[۱۰] حقیقی منفرد، ایمان، «پیشنهاد طیف طراحی زلزله در  
مناطق نزدیک گسل برای کشور ایران با استفاده از  
رکوردهای واقعی و مصنوعی» پایان‌نامه کارشناسی  
ارشد، دانشگاه تربیت مدرس، دانشکده فنی و  
مهندسی، ۱۳۸۶.

[11] M.R.Ghayamghamian, G.R.Nouri, "On the characteristics of ground motion rotational components using Chiba dense array data" Earthquake engineering & structural dynamics , 2007; 36:1407–1429.

[12] M. P. Singh , M. Ghafory-Ashtiany, "Analysis of nonclassically damped structures subjected to six correlated earthquake components" Earthquake engineering & structural dynamics , Volume 90, Issue 1, 3 November 1985, Pages 43-54.

[13] Alfredo Reyes-Salazar a; Arturo Lopez-Barraza a; Alfonso Lopez-Lopez a; Achintya Haldar b , "Multi-Component Seismic Response Analysis" Journal of Earthquake Engineering, Volume 12, Issue 5 June 2008 , pages 779 – 799.

اختلاف بین پاسخ سه مؤلفه‌ای و شش مؤلفه‌ای بیشتر  
احساس می‌شود. همچنین در محدوده  $T>2\text{sec}$  هرچه بر  
نسبت خروج از مرکزیت به بعد سازه اضافه می‌شود، تأثیر  
مؤلفه‌های دورانی بر سازه بیشتر می‌شود و می‌توان این طور  
نتیجه گرفت که اثر مؤلفه‌های چرخشی می‌تواند برای  
سازه‌های با دوره تناوب بالا (مانند پل‌ها) مهم باشد.  
بنابراین کنترل پیچش‌های اتفاقی در مورد این سازه‌ها از  
اهمیت زیادی دارد.

## -۸- مراجع

[۱] ضیا توحیدی، رضا، «تأثیر مؤلفه پیچشی زلزله  
بر خروج از مرکزیت اتفاقی در ساختمان‌های نامتقارن»،  
پایان‌نامه کارشناسی ارشد، دانشگاه تربیت مدرس،  
دانشکده فنی و مهندسی، ۱۳۷۶.

[۲] علیرضایی، مهدی؛ شکیب، حمزه، «ارزیابی  
شش مؤلفه‌ای رکورد زلزله‌های نزدیک گسل» هشتمین  
کنگره بین‌المللی مهندسی عمران، دانشگاه شیراز،  
ارديبهشت ۱۳۸۸.

[3] M. P. Singh , M. Ghafory-Ashtiany , "Analysis of nonclassically damped structures subjected to six correlated earthquake components" , Nuclear Engineering and Design , Volume 90, Issue 1, 3 November 1985, Pages 43-54.

[4] Castellani, G. Boffi "Rotational components of the surface ground motion during an earthquake" Earthquake Engineering & Structural Dynamics , Volume 14, Issue 5 , Pages 751 – 767.

[5] Lib.; Al-bermani f. G. A. ; Kitipornchai S." Maximum response of asymmetric structures subject to a multicomponent earthquake" , Earthquake engineering & structural dynamics, 1993, vol. 22, no:12, pp. 1047-1066. (17 ref.).

[۶] عشقی، مهدی "تحلیل دینامیکی سازه رآکتور نیروگاه  
هسته‌ای بوشهر تحت اثر زلزله چند مؤلفه‌ای" ، پایان‌نامه

- [16] Bozorgnia, Y. and Bertero, V.V. (2004). Earthquake Engineering From Engineering Seismology to Performance - Based Engineering. CRC Press , Boca Raton, FL, USA.
- [14] Jianwei Song, Zach Liang, Yi-Lun Chu and George C. Lee , “Peak earthquake response of structures under multi-component excitations” , Earthquake Engineering and Engineering Vibration, Volume 6, Number 4 / December, 2007.

[۱۵] شکیب، حمزه و همکاران؛ «طیف طرح زلزله برای ایران»، مرکز تحقیقات ساختمان و مسکن- شماره نشریه: گ - ۴۳۰ .

---

**Abstracts**

---

## **Considering the Effect of Six Component of Near-Fault Earthquake Ground Motions on the Three Dimensional Systems**

**H. Shakib<sup>1\*</sup>, M. Alirezaie<sup>2</sup>**

1- Prof., Tarbiat Modares University, Tehran, Iran

2- Ph.D. Student, International Institute of Earthquake Engineering and Seismology

[Shakib@modares.ac.ir](mailto:Shakib@modares.ac.ir)

**Abstract:**

The rotational components of seismic strong-motion are attracting attention since it is becoming evident that it may contribute considerably to the overall response of structures to earthquake motions. Also, it is clear that the effects of near-fault ground motions with large velocity pulses, large amplitude, long period, and pulse type of excitation can create critical working conditions. In the near-field of an earthquake the effects of the rotational components of ground motion may not be negligible specially for important structures. In this paper, an improved method for calculating the time histories of torsional and rocking components of ground motion corresponding to a set of three recorded orthogonal translational components is presented. The current processing of earthquake records provide information only about the three translational (two horizontal and one vertical) components of the ground motion, primarily because these are the only components that can be directly instrumentally measured. However, the translational components during a seismic event are always accompanied by rotational components because of the traveling wave effects. Several studies have shown the importance of rotational components in the seismic analysis and design of structures. The seismic design codes also prescribe “accidental eccentricity” in the design force calculations to account for the unknown torsional inputs and unintended eccentricity in the design of a building. One of the reasons why this input is not explicitly taken into account in the seismic design codes is the lack of reliable information on torsional ground spectra. In this study the three rotational components of earthquakes records is generated artificial by three translational components. The torsional motions in terms of time derivative of translational components and shear wave velocity of site are derived. Seven translational earthquake records of far fault and seven translational earthquake records from near-fault have been selected. The rotational components of far fault and near fault are generated the response spectral for translational as well as rotational components are presented and compare to each other in other to verify the characteristic of the near fault response spectral compare to the far fault response spectral. Furthermore, the effect of rotational motion on structural response is investigated. Therefore the six components of earthquakes records of far fault and near fault applied to the idealized system model and the response of the system are determine.

**Key words:** Rrotational components of earthquake; Near-fault; Far fault